

## ЭФФЕКТ ШУБНИКОВА – ДЕ ГААЗА У ИНТЕРКАЛИРОВАННЫХ СОЕДИНЕНИЙ ГРАФИТА ПЕРВОЙ И ВТОРОЙ СТУПЕНЕЙ

Н.Б.Брандт, С.Г.Ионов, С.В.Кувшинников,  
В.А.Муханов, В.В.Авдеев

Получены совершенные монокристаллы интеркалированных соединений графита с  $\text{AlCl}_3$  первой ступени и  $\text{ICl}$  второй ступени, на которых наблюдаются отчетливые осцилляции Шубникова – де Гааза. Определены экстремальные сечения поверхности Ферми, их угловые зависимости, эффективные массы и концентрации носителей тока при гелиевых температурах.

Большой интерес к интеркалированным соединениям графита связан с обнаружением у этих веществ "суперметаллической" проводимости. Например у соединения  $\text{C}_{6,5}\text{SbF}_5$  электропроводность при комнатной температуре в несколько раз выше проводимости меди или серебра [1]. При интеркалировании атомы интеркалята внедряются в пространство между углеродными слоями, значительно увеличивая расстояние  $C_0$  между ними. Если у монокристаллического графита  $C_0 = 3,354 \text{ \AA}$ , то у соединения  $\text{C}_{9,3}\text{AlCl}_{3,3} C_0 = 9,541 \text{ \AA}$ . При образовании соединений первой ступени внедренные слои последовательно чередуются с моноатомными графитовыми сетками. У соединений второй ступени слои интеркалята следуют через каждые два моноатомные слоя графита.

В настоящее время практически отсутствует информация о структуре энергетического спектра у интеркалированных соединений графита и механизмах, обусловливающих их очень высокую электропроводность. Одним из эффективных методов получения такой информации является исследование эффекта Шубникова – де Гааза (ШДГ). Однако, до последнего времени, насколько нам известно, никому не удавалось наблюдать осцилляции ШДГ на соединениях графита первой ступени. Небольшие по амплитуде и сложные по структуре осцилляции наблюдались только у соединений графита с хлоридами некоторых переходных металлов ( $\text{FeCl}_3$ ,  $\text{CdCl}_2$ ,  $\text{PdCl}_2$ ) второй и более высоких ступеней в полях около  $200 \text{ k}\mathcal{E}$  [2].

В настоящей работе впервые обнаружены и исследованы отчетливые осцилляции ШДГ (амплитуда осцилляций сравнима с изменением в магнитном поле монотонной составляющей сопротивления!) в полях до  $60 \text{ k}\mathcal{E}$  у соединений  $\text{C}_{9,3}\text{AlCl}_{3,3}$  (первая ступень) и  $\text{C}_{16}\text{ICl}$  (вторая ступень).

Для получения совершенных квазимонокристаллов интеркалированных соединений использовался высококачественный пиролитический графит, отожженный при температуре  $> 3000^\circ\text{C}$ . Ступень интеркаляции определялась при помощи рентгеноструктурного и химического анализов. Образцы представляли собой квазимонокристаллы размером  $5 \times 0,5 \times 0,5 \text{ mm}^3$ . Измерения проводились четырехконтактным методом, контакты из золоченой проволоки приклеивались к образцам серебряной пастой. Сигнал с потенциальных или холловских контактов подавался на вход фотокомпенсационного усилителя Ф116/1 и записывался на двухкоординатном самописце.

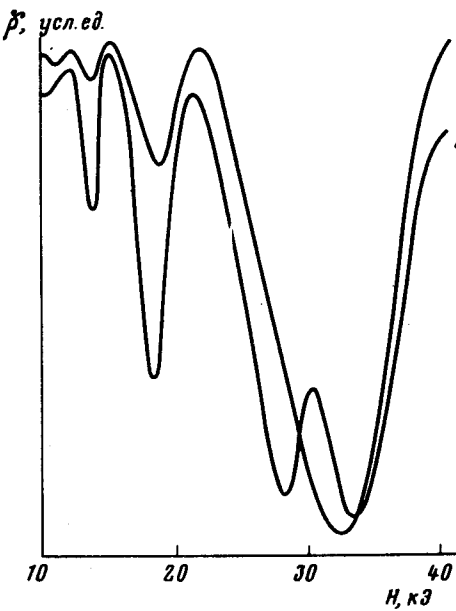


Рис.1. Зависимость осциллирующей части магнетосопротивления  $\tilde{\rho}$  от магнитного поля  $H$  в направлении оси  $C$  при температуре 4,2 К для образца пиролитического графита, отожженного при температуре  $\sim 3000^{\circ}\text{C}$  (кривая 1) и для образца, отожженного при  $> 3000^{\circ}\text{C}$  (кривая 2)

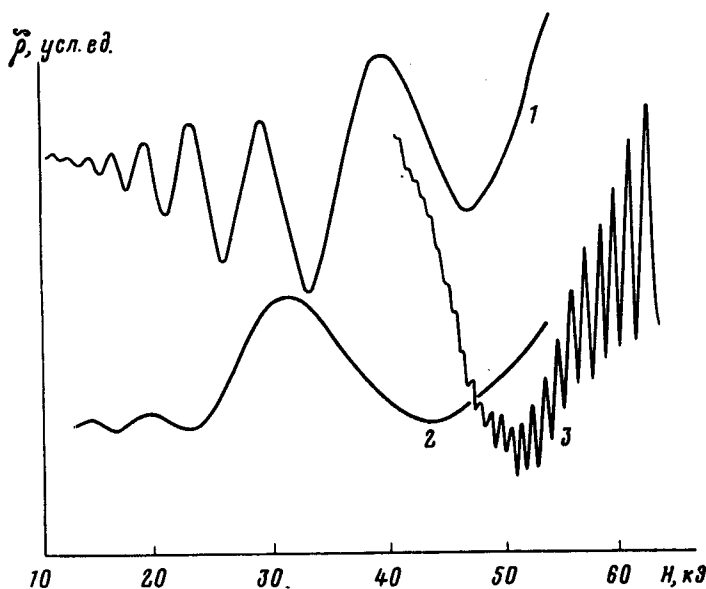


Рис.2. Зависимости осциллирующей части магнетосопротивления от магнитного поля  $H$  в направлении оси  $C$  при температуре 4,2 К для образца  $\text{C}_{9,3}\text{AlCl}_{3,3}$  (кривая 1), для того же образца после двухдневной выдержки (кривая 2) и для образца  $\text{C}_{16}\text{ICl}$  (кривая 3)

На рис.1 и рис.2, в качестве примера, приведены кривые записи осцилляций магнетосопротивления у пиролитических графитов с различной термообработкой и у интеркалированных соединений первой и второй ступеней при гелиевых температурах в полях до 60 кЭ. Специфика осцилляций, наблюдавшихся у соединения  $C_{9,3}AlCl_{3,3}$ , заключается в следующем. Осцилляции являются строго монохроматическими, частота осцилляций существенно отличается от частот осцилляций у исходного графита. С течением времени частота осцилляций у исследованных образцов  $C_{9,3}AlCl_{3,3}$  изменяется, при этом межслоевое расстояние остается постоянным. Последнее обстоятельство позволяет получить зависимость эффективной массы носителей тока от экстремального сечения при измерениях на одном и том же образце. При уменьшении сечения от  $S = (10,62 \pm 0,10) \cdot 10^{-42} \text{ г}^2 \cdot \text{см}^2 / \text{сек}^2$  до  $S = (5,41 \pm 0,10) \cdot 10^{-42} \text{ г}^2 \times \text{см}^2 / \text{сек}^2$  эффективная масса уменьшается от значения  $m^* = (0,057 \pm 0,002) m_0$  до  $m^* = (0,051 \pm 0,002) m_0$ . При увеличении угла  $\theta$  между базисной плоскостью и направлением магнитного поля экстремальные сечения увеличиваются пропорционально  $\cos^{-1} \theta$ , что позволяет отнести их к сечению дырочной части поверхности Ферми, представляющей собой гладкий цилиндр, ось которого проходит через точку  $H$  зоны Бриллюэна [3, 4]. У соединения  $C_{16}ICl$  (вторая ступень) также наблюдаются осцилляции ШДГ, амплитуда которых сравнима с величиной монотонной составляющей магнетосопротивления. Экстремальное сечение, соответствующее этим осцилляциям, составляет  $S = (312 \pm 3) \times 10^{-42} \text{ г}^2 \cdot \text{см}^2 / \text{сек}^2$  и в  $\sim 50$  раз больше чем у исходного графита. Коэффициент Холла  $R$  у исследованных соединений графита при гелиевых температурах положителен и слабо зависит от напряженности магнитного поля в области до 60 кЭ. У  $C_{9,3}AlCl_{3,3}$  при 4,2 К  $R \approx 0,5 \text{ см}^3 / \text{Кулон}$ .

Полученные данные позволяют непосредственно определить концентрацию носителей тока (дырок) у исследованных интеркалированных соединений графита:  $n_h = 1,02 \cdot 10^{19} \text{ см}^{-3}$  у  $C_{9,3}AlCl_{3,3}$  и  $n_h = 27,4 \times 10^{19} \text{ см}^{-3}$  у  $C_{16}ICl$ . Полученные значения  $n_h$  для  $C_{9,3}AlCl_{3,3}$  хорошо согласуются с оценкой  $n_h = 1/R|e|$ , что свидетельствует о наличии у этого соединения только одной группы носителей.

Таким образом, на основании проведенных исследований можно сделать вывод о том, что при интеркалировании происходит резкое увеличение концентрации носителей, что, по-видимому, является следствием перераспределения электронной плотности между графитовыми и внедренными слоями.

В заключение авторы выражают благодарность А.С.Котосонову за предоставление исходных образцов пиролитического графита и обсуждение результатов измерений.

Московский  
государственный университет  
им. М.В.Ломоносова

Поступила в редакцию  
26 июня 1981 г.

### Литература

- [1] Vogel F.L., J. of Mater. Science, 1977, 12, 982.
- [2] Woolam J.A., Haugland E., Dowell M.B., Kambe N., Mendez E., Hakimi F., Dresselhaus G., Dresselhaus M.S. Carbon, 1980, 18, 55.

- [3] Chieu T.C., Dresselhaus G., Dresselhaus M.S. Solid State Comm., 1981, 37, 561.
- [4] Holowarth N.A.W. Phys. Rev., 1980, 21, 3665.